

비동기 FH/MFSK 반복전송 시스템의 성능 분석

지 영호[°], 한 영일
한양대학교 대학원 전자통신공학과

A Study on The Performance Analysis of Asynchronous Repeated FH/MFSK System

Young Ho Chi, Young Yearl Han.
Dept. of Electronic Communication Engineering Han Yang University.

ABSTRACT

In this paper the performance of the asynchronous repeated FH/MFSK system for the CDMA(Code Division Multiple Access) was analyzed. Actually there was no difference in the probabilities of hit of frequency between Random Coding method and frequency hopping pattern vector suggested by Einarsson. Simulation was performed to study the number of hits of frequency caused by users per 20 continuous chips from the arbitrary point of time during the period when all users were engaged. Actual situation was adopted as model in this simulation, on the assumption that; at there was no Noise, Multipath propagation, but there was only mutual interference. at the number of users M was given.

1. 서 론

FH/MFSK 반복전송 시스템은 1978년에 발표된 Viterbi⁽¹⁾의 논문에 기초를 두고 있으며 인공위성을 사용하는 이동무선 시스템을 중심으로 연구가 구체화 되고 있다.

FH/MFSK 반복전송이 평상 FH/MFSK 와 다른점은 하나의 심볼(Symbol)의 신호파형을 반복전송 하는것이다.

이 시스템에서는 확산부호를 각 이용자에게 부여하는 방법이 구체적으로 연구되어 있고 번지라는 개념을 도입 하고 있다. 번지로 부여하는 목적은 가능한한 두 도약주파수가 겹치지 않도록 하는데 있다. 번지에는 1. 무작위 번지 2. 청(Chirp)번지 3. 유한체번지가 있는데 본논문에서는 유한체번지를 적용 하였을때를 다루기로 한다.

FH/MFSK 반복전송은 동기와 비동기의 두가지 방식이 있는데 실제의 시스템에서 모든 사용자들간의 동기를 맞춘다는 것이 어려울것 이므로

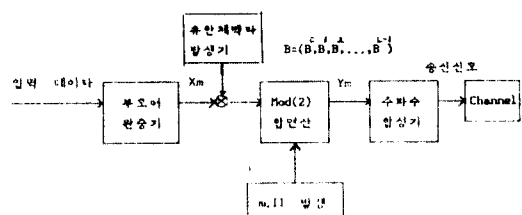
비동기 시스템을 고려 하기로 한다.

잡음(Noise)과 피이딩(Multipath Propagation)이 없고 사용자 상호간의 간섭(Interference)만 있다고 가정하고 실제상황을 모델로하여 시뮬레이션 하여 반복전송때의 실제 사용자 수 M이 주어졌을때 모든 사용자가 동시에 사용한다고 보는 시간중 임의의 시간부터 시작된 연속된 임의의 갯수(20개)의 연속된 칩(Chip) 당 다른 사용자들 간의 주파수의 겹침(Hit)이 얼마나 되는지 알아보고 Random Coding 때의 간섭량과 비교하여 보기로 한다.

2. 본론

1) 시스템의 구성

그림 1은 비동기 FH/MFSK 반복전송시스템의 송신기 모델을 그린 것이다.



(그림1. 비동기 FH/MFSK 반복전송 시스템의 송신기 모델)

K bit의 정보비트(data) Xm이 부호어완충기에 들어와 저장되어 L 개의 K 비트의 유한체 원소들과 결합하여 사용자의 고유번지(Address) m과 이원가산(Modulo(2))을 한 주파수도약패턴 ym 이 주파수합성기에 들어감으로써 도약주파

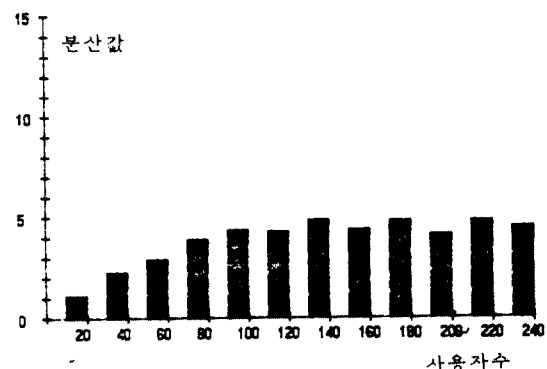
약페턴의 사이퀀스가 모두 존재하는 시간대에서 이들간의 도약주파수의 겹침(Hit)을 조사하여 확률통계적인 방법으로 계산한다.

시뮬레이션은 사용자수 M의 값을 20명부터 40명 일때까지 20명씩 증가시켜서 각각의 경우에 각 사용자들간의 도약주파수페턴의 겹침(Hit)수를 알아보았다.

2)-1-2. 시뮬레이션 결과

앞에 기술한 시뮬레이션 방법으로 시뮬레이션 한 결과 시스템의 사용자 수가 각각 20, 40, 60, 80, 100, 120, 140, 160, 180, 200, 220, 240 명 일 때 임의의 시간을 정하고 그 시간 부터 연속된 20개의 칠(Chip)에서 주파수의 겹침(Hit)수들의 평균, 분산을 구하였다. 결과는 다음과 같다.

사용자수	평균	분산
20	1.7000000477	1.110000
40	3.2249999046	2.274375
60	4.1333332062	2.015556
80	5.5500001907	3.897502
100	6.2800002098	4.361600
120	7.2916665077	4.289931
140	8.3357143402	4.837297
160	9.6374998093	4.368594
180	10.0222225189	4.799507
200	10.9049997330	4.125980
220	11.6818180084	4.807852
240	12.2583332062	4.491594



2)-2 Random coding을 사용 하였을 때의, 간섭량

이상의 비동기 시스템일 때 나온 결과와 Random Coding 일 때 주파수의 겹치는 상태를 비교하여 보기로 한다.

Random Coding 일 경우 전송행렬(Transmission Matrix) 상에서 시스템을 사용중인 임의의 사용자가 다른 사용자들과 주파수의 겹침이 일어날 확률을 생각 하기로 하자.

임의의 사용자가 전송행렬 상의 j행 L 열에 현재 도약주파수를 전송하고 있다고 가정하면 간섭하고 있는 사용자가 1명일 때 그 사용자가 (Tone) 을 j 행 L 열에 보내지 않을 확률은 1-2 가된다 나머지 M-1 명의 사용자가 j 행 L 열에 하나의 톤을 보내지 않을 확률은

$$(1 - 2^{-k})^{M-1}$$

이 된다.

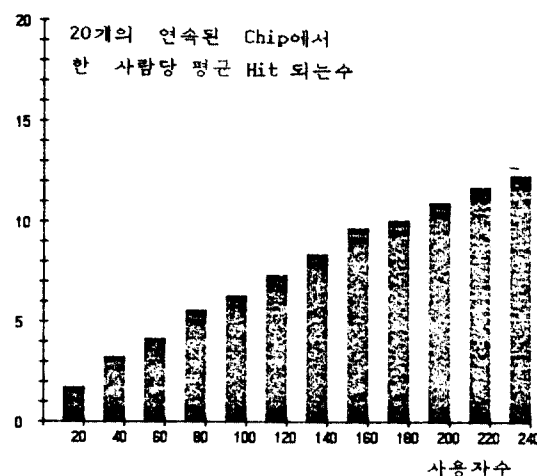
그러므로 적어도 한개 이상의 톤이 j 행 L 열에 보내어질 확률 즉 주파수의 겹침이 한번 이상 있게 될 확률은

$$P = 1 - (1 - 2^{-k})^{M-1}$$

이된다.

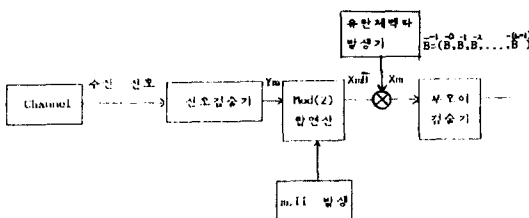
앞에서 구한 비동기 일 때의 결과와 Random Coding 일 때의 한번 이상 겹침 확률

$P = 1 - (1 - 2^{-k})^{M-1}$ 을 써서 Random Coding 을 사용할 경우도 사용자수가 각각 20, 40, 60, 80, 100, 120, 140, 160, 180, 200, 220, 240 명 일 때 임의의 위치의 20개의 연속된 칠들에서 겹치는 수들의 평균, 분산을 생각해 보면



$$P = 1 - (1 - 2^{-k})^{M-1}$$

수를 발생 시킨다.



(그림2. 비동기 FH/MFSK 반복전송 시스템의 수신기 구조도)

수신단에서는 송신과정의 역순으로 신호를 복호해낸다.

검출된 신호행렬 Y_m 에서 사용자 고유의 번지 벡터 $m.II$ 를 이원뺄셈(Modulo(2))하고 여기서나온 X_mB 행렬에서 유한체 벡터 B 를 제거하여 원래의 송신 데이터 X_m 을 검출해낸다.

2). 비동기 도약패턴 벡터와 Random Coding 을 사용 하였을때의 간섭량의 비교

2)-1. 비동기 도약패턴 벡터를 사용했을때의 간섭량

CDMA를 위한 FH 시스템을 만들기 위해서는 확산부호를 각 이용자상에 부여하여야 하며 이 방법에 대해서는 구체적으로 연구되어 있다. 이 시스템에서는 번지라는 용어를 사용하고 있다. Einarsson⁽³⁾은 FH/MFSK 반복전송 시스템을 위하여 각각의 사용자간의 주파수의 간섭량이 최소로 되는 번지 할당법을 제시하였다.

본 논문에서는 Einarsson이 제시한 도약패턴벡터를 사용하였을 때 비동기 FH/MFSK 반복전송 시스템을 사용할 때 사용자 상호간에 일어나는 간섭량에 대해서 알아보기 위하여 실제상황을 모델화하여 시뮬레이션하였다.

Einarsson이 FH/MFSK 비동기시스템을 위하여 제안한 도약패턴벡터는 다음과 같다.

$$Y_m = X_m(B^0, B^1, B^2, \dots, B^{k-1}) + m.II \quad II = \underbrace{(1, 1, 1, \dots, 1)}_{L \text{ 개}}$$

여기서 X_m 은 송신하는 데이터로 k 개의 비트로 이루어진 부호어이다.

$X_m, B^0, B^1, B^2, \dots, B^{k-1}, m.II$ 은 $GF(2^k)$ 에 속하는 원소들이다

체(Field) F 를 2개의 원소 {0,1}를 갖는 2원체

GF(2) 라하자

GF(2)의 K 차원시다항식의 근을 라하면 가로 와체(Galois Field) $GF(2^K)$ 의 원소는 $0, 1, \alpha, \alpha^2, \dots, \alpha^{2^{K-1}-1}$ 로 표시되며 $\alpha^{2^K-1} = 1$ 이다. 여기서 α 의승은 0과 1을 포함하여 실진수로 $0 \sim 1$ 까지 포함되어 있으므로 α 를 원시원이라 하여 B 로 표기한다.

확산 대역통신 시스템을 디자인하는데 있어서 전체 사용 가능한 대역폭(W)과 User S Rate(R) (또는 그들의 비인 $r=W/R$)는 주파수의 수 (2^K 개)와 반복수 L 을 다음식으로 구속한다.

$$L = rk 2^{-k} \quad \dots \dots (1)$$

예로 만약 $r=626$ 이면 k 가 증가함에 따라 L 은 (1)식에 의해서 결정되어 진다.

$k=7$ 일 때 $L=626*7*2=34,234,375$ 이고 여기서 정수만취하면 $L=34$ 이다. 따라서 (7,34)라는 (k, L) 쌍을 형성한다.

계속해서 $k=8$ 일 때 $L=19$ 로 (8,19), 또 (9,11), (10,6), (11,3) 등의 쌍이 만들어진다. 본 논문에서는 $k=8$ 일 때 즉 (k, L)쌍이 (8,19) 일 때 를 위주로 분석하여 보았다.

L 은 반복수로 최대 2^{k-1} 까지의 값을 취할 수 있다.

m 은 사용자에게 할당되는 고유번지이다.

2)-1-1. 시뮬레이션방법

식 $Y_m = X_m(B^0, B^1, B^2, \dots, B^{k-1}) + m.II$ 에서 X_m 은 $GF(2^k)$ 에 속하는 실진수이므로 현재 사용하고 있다고 가정하는 $0 \sim (2^k-1)$ 사이의 데이터를 현재 사용하고 있다고 가정하는 사용자 수 만큼 임의 적으로 발생시키고 $GF(2^k)$ 에 속하는 원소들인 B^0, B^1, \dots, B^{k-1} 를 정해주기 위하여 $GF(2^k)$ 상의 원시다항식(Polynomial) $p(x)$ 들 중에서 하나의 원시다항식을 선택한다.

m 의값은 $0 \sim (2^k-1)$ 사이의수 즉 2^k 명에서 현재 사용하고 있다고 가정하는 사용자수 만큼의 사용자의 번지를 무작위로 뽑아낸다.

식 Y_m 으로 표시된 도약패턴들의 프레임(Frame)을 만들면 이것은 m 행 L 렬의 프레임이 되는데 이러한방법으로 프레임들을 만들어서 이들을 시간경과하는 순서대로 연결시킨다. 결과적으로 얻어진 연결된 프레임은 동기가 맞추어진 도약패턴 Sequence 이므로 이것을 비동기로 하여주기 위해서는 각 사용자간의 도약패턴의 시작점을 다르게하여준다. 여기서 사용자들간의 간섭량은 모든 사용자들이 통신을 하고 있을 때의 간섭량을 의미하고 이상황을 시뮬레이션하기 위해서는 도

한 칠당 겹침이 있을 확률은 P 이고 겹침이 없을 확률은 $q=1-p$ 가되므로 이 경우는 이항분포(Binomial)를 갖는다고 볼수 있다.

이항 분포는 다음과 같은 밀도함수(Density Function)를 갖는다.

$$f(x) = \begin{cases} \binom{n}{x} p^x q^{n-x} & \text{for } x = 0, 1, \dots, n \\ 0 & \text{otherwise} \end{cases}$$

평균 $E[X]=np$, 분산 $VAR[X]=npq$ 을 갖는다.

결과는 다음과 같다.

사용자수	P	평균	분산
20	1-(1-2^{-n})^{20}	10. -1	1.477708 1.337567
40	1-(1-2^{-n})^{40}	20. -1	2.955438 2.177452
60	1-(1-2^{-n})^{60}	30. -1	4.432942 3.227599
80	1-(1-2^{-n})^{80}	40. -1	5.910598 3.994551
100	1-(1-2^{-n})^{100}	50. -1	6.424343 4.340680
120	1-(1-2^{-n})^{120}	60. -1	7.446773 4.674052
140	1-(1-2^{-n})^{140}	70. -1	8.291541 4.870708
160	1-(1-2^{-n})^{160}	80. -1	9.015942 4.977050
180	1-(1-2^{-n})^{180}	90. -1	9.7414 4.999919
200	1-(1-2^{-n})^{200}	100. -1	10.20149 4.994250
220	1-(1-2^{-n})^{220}	110. -1	11.51756 4.985046
240	1-(1-2^{-n})^{240}	120. -1	12.1514 4.968653

2)-3 . 간섭량의 비교

비동기 FH/MFSK 반복전송 시스템에서의 사용자상호간의 간섭량은 비동기일경우를 시뮬레이션하여 두 경우를 비교하면 평균이나 분산값이 크게 차이가 나지않는 것을 알 수 있다.

3. 결론

Einarsson 이 제시한 주파수 도약 벡터를 사용 하였을 때 비동기 FH/MFSK 반복전송 시스템에서 실지상황을 모델로 하여 시뮬레이션 하여본 결과 사용자상호간에 일어나는 간섭량은 Random Coding 을 사용하였을 때 일어나는 간섭량과 비교하여 별차이가 없음을 보였다.

참고 문헌

1. A.J.Viterbi,"A Processing Satellite Transponder For Multiple Access By Low -Rate Mobile Users," Digital Satellite Commun. Conf., Montreal, October 23-25
2. D.J, Goodman,P.S. Henry, and V.K.Prabhu,"Frequency- Hopped Multilevel FSK for Mobile Radio,:B.S.T.J.,59,No.7 (September 1980).pp .1257-75.
3. G.Einarsson,"Address Assignment for a Time-

-Frequency Coded Spread -spectrum system,"

B.S.T.J.,September 1980

4. B.G.Haskell,"Computer Simulation results on Frequency Hopped MFSK Mobile Radio-Noiseless Case" IEEE,1980
5. R.M.Mersereau,T.S.Seay,"Multiple Access Frequency Hopping Patterns with Low Ambiguity" ,IEEE Vol.AES-17. No.4 July 1981